

## 抱杆多点整体扳立大型输电杆塔分析计算的 Picard 迭代法

陈祥都 刘树堂 刘士彬

(东北电力学院建筑工程系, 吉林 132012)

**摘要** 在某些特殊情况下, 跨江大型输电铁塔、钢筋混凝土输电杆塔, 要用抱杆多点整体扳立方法立塔。本文首次用比卡(Picard)迭代法解算了复杂复合约束绳系动点坐标的非线性方程组, 该法具有极简单的特点。

**关键词** 复合约束绳系 Picard 迭代法

**中图法分类号** O39 TB12

## 1 大型输电杆塔安装的抱杆多点整体扳立方法

输电杆塔一般有: 钢筋混凝土杆塔; 桁构式铁塔; 独立钢管塔三种。前两种在我国用得普遍。钢筋混凝土柱式塔较高, 不宜用分段法安装时, 要用抱杆多点整体扳立方法立塔, 这就要使用较复杂或复杂约束绳系多栓吊些点实施。大型铁塔当受场地条件限制, 如河网水生作物栽培区, 大型机具无法开进时, 也要用抱杆多点整体扳立方法立塔, 如某越江巨型铁塔就用了这种方法立塔, 采用了与图 1 相近的复杂约束绳系系统。有关这种方法的施工措施及其他有关问题本文不涉及, 仅就解算约束绳系动点坐标的非线性方程组计算方法作些比较研究。

## 2 解算复合约束绳系动点坐标的非线性方程组

图 1(a) 复合约束绳系的组合方式, 显示了抱杆扳立杆塔所用约束绳系的典型特征: 基本单元都是一根绳索套绕一个动滑轮后, 与另两个动滑轮或定滑轮联系。每一套约束绳系都可以写出它的定义方程与法线性质方程<sup>[1]</sup>, 见图 1(b)。

$$F_i = \sqrt{(X_i - X_{i+1})^2 + (Y_i - Y_{i+1})^2} + \sqrt{(X_i - X_{i+2})^2 + (Y_i - Y_{i+2})^2} - L_i = 0 \quad (\text{定义方程}) \quad (1)$$

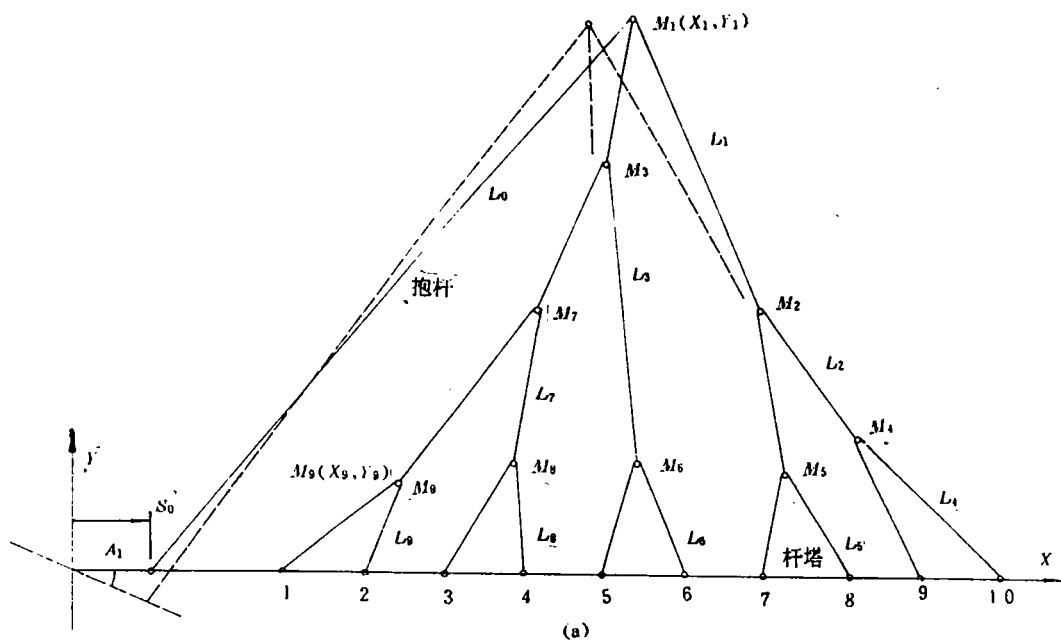
$$f_i = \frac{Y_{i-1} - Y_i}{X_{i-1} - X_i} - \frac{\sin\alpha_{i+1} + \sin\alpha_{i+2}}{\cos\alpha_{i+1} + \cos\alpha_{i+2}} = 0 \quad (\text{法线性质方程}) \quad (2)$$

收稿日期, 1995-10-05

$$\text{其中 } \bar{\beta}_i = \arctg \frac{Y_{i-1} - Y_i}{X_{i-1} - X_i} \quad (2.1)$$

$$\alpha_{i+1} = \arctg \frac{Y_i - Y_{i+1}}{X_i - X_{i+1}} \quad (2.2)$$

$$\alpha_{i+2} = \arctg \frac{Y_i - Y_{i+2}}{X_i - X_{i+2}} \quad (2.3)$$



如果  $i+1$  或  $i+2$  是定点, 则相应坐标是已知的. 注意,  $M_1$  点简化与抱杆顶重合,  $M_1$  系统的法线性质方程无法写出, 但有抱杆方程

$$Y_1^2 + (X_1 - S_0)^2 = L_0^2 \quad (3)$$

显见, 这样的问题最宜用地旋法描述, 因此, (1)、(2) 式仍保持原形式不变, 仅将抱杆方程 (3) 改写成

$$(Y_1 - S_0 \sin A_1)^2 + (X_1 - S_0 \cos A_1)^2 = L_0^2 \quad (4)$$

即可, 其中  $A_1$  为地旋角.

这样,  $n$  个动点, 总可以写出  $2n$  个方程, 从而解出动点坐标  $X_i, Y_i$ .

需要指出的是, 对于象图 1 这样的约束绳系系统 [见图 1(b)]:  $M_i$  系统的引导绳  $M_{i-1}M_i$ , 即  $M_i$  动点轨迹的法线是平分  $M_i$  系统顶角  $\angle M_{i+1}M_iM_{i+2}$  的, 因此, 法线性质方程可改写成

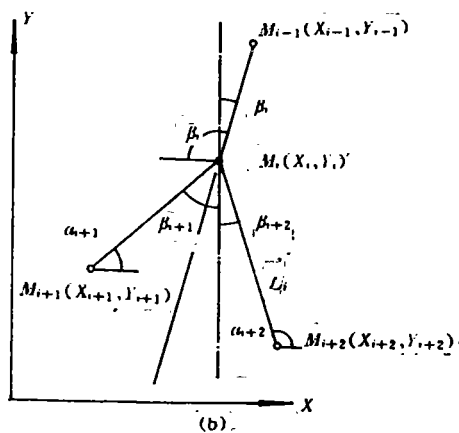


图1 复杂复合约束绳系

$$\lg[(\beta_{i+1} + \beta_{i+2})/2] = \lg \beta_i = \frac{X_{i-1} - X_i}{Y_{i-1} - Y_i} \quad (5)$$

$$\text{其中 } \beta_{i+1} = \arctg \frac{X_i - X_{i+1}}{Y_i - Y_{i+1}} \quad (5.1)$$

$$\beta_{i+2} = \arctg \frac{X_i - X_{i+2}}{Y_i - Y_{i+2}} \quad (5.2)$$

定义方程可相应改写为

$$(Y_i - Y_{i+1}) \sqrt{\left(\frac{X_i - X_{i+1}}{Y_i - Y_{i+1}}\right)^2 + 1} - (Y_i - Y_{i+2}) \sqrt{\left(\frac{X_i - X_{i+2}}{Y_i - Y_{i+2}}\right)^2 + 1} - L_k = 0 \quad (6.1)$$

$$(Y_i - Y_{i+1}) \sqrt{\lg^2 \beta_{i+1} + 1} + (Y_i - Y_{i+2}) \sqrt{\lg^2 \beta_{i+2} + 1} - L_k = 0 \quad (6.2)$$

(5) 式的意义在于解算过程中, 分母  $(Y_{i-1} - Y_i)$  差值较大, 分子  $(X_{i-1} - X_i)$  差值较小,  $\beta_i$  永远取锐角, 因而可保证运算稳定进行, 不会发散溢出。

### 3 非线性方程组的数值解法与 Picard 迭代法

3.1 解非线性方程组的数值方法较多, 笔者在解算这类问题的非线性方程组时较充分的试用了其中的一种<sup>[1]</sup>, 为讨论方便, 将这个方法称为“基本方法”: 先将非线性方程作多元泰勒展开, 取其线性部分, 并将一阶偏导数用差商表示, 即

$$\begin{aligned} & \frac{F_i(X_1 + h, \dots, X_j, \dots, X_n) - F_i(X_1, \dots, X_j, \dots, X_n)}{h} (X_1 - X_j) + \dots \\ & + \frac{F_i(X_1, \dots, X_j + h, \dots, X_n) - F_i(X_1, \dots, X_j, \dots, X_n)}{h} (X_j - X_n) + \dots \\ & + \frac{F_i(X_1, \dots, X_j, \dots, X_n + h) - F_i(X_1, \dots, X_j, \dots, X_n)}{h} (X_n - X_n) = -F_i \end{aligned} \quad (7)$$

其中,  $F_i = F_i(X_1, \dots, X_j, \dots, X_n)$

按(7)式构造线性方程组, 然后用高斯消元——回代方法解算线性方程组。

解非线性方程组还有牛顿——拉夫逊(Newton——Raphson)方法, 及改进的布罗登(Broyden)方法(又称拟牛顿法)。实践证明, 用上述方法解算这类非线性方程组, 都能获得较满意的结果。

显见, 相对讲, 这些方法涉及的数学知识较多, 而且要编制较复杂的程序, 如笔者试用的“基本方法”, 除编制主程序外, 还编制了构造线性方程组的子程序, 引用了高斯消元——回代法子程序。

#### 3.2 Picard 迭代法

笔者发现, 用 Picard 迭代法解算这类问题的非线性方程组能较容易地获得满意结果。

其做法简单。将非线性方程组

$$F_i(X_i) = 0 \quad (i = 1, 2, \dots, n) \quad (8)$$

改写成

$$X_{i,k+1} = \varphi_i(X_{i,k}) \quad (k = 0, 1, 2, \dots) \quad (9)$$

将一组初始值  $X_{i,0}$  代入(9)式右端, 则可算出(9)式左端一组  $X_{i,1}$ ; 然后将一组  $X_{i,1}$  再代入

(9) 式右端,又算出(9)式左端一组  $X_{i,2}$ ,如此往复迭代,直至使

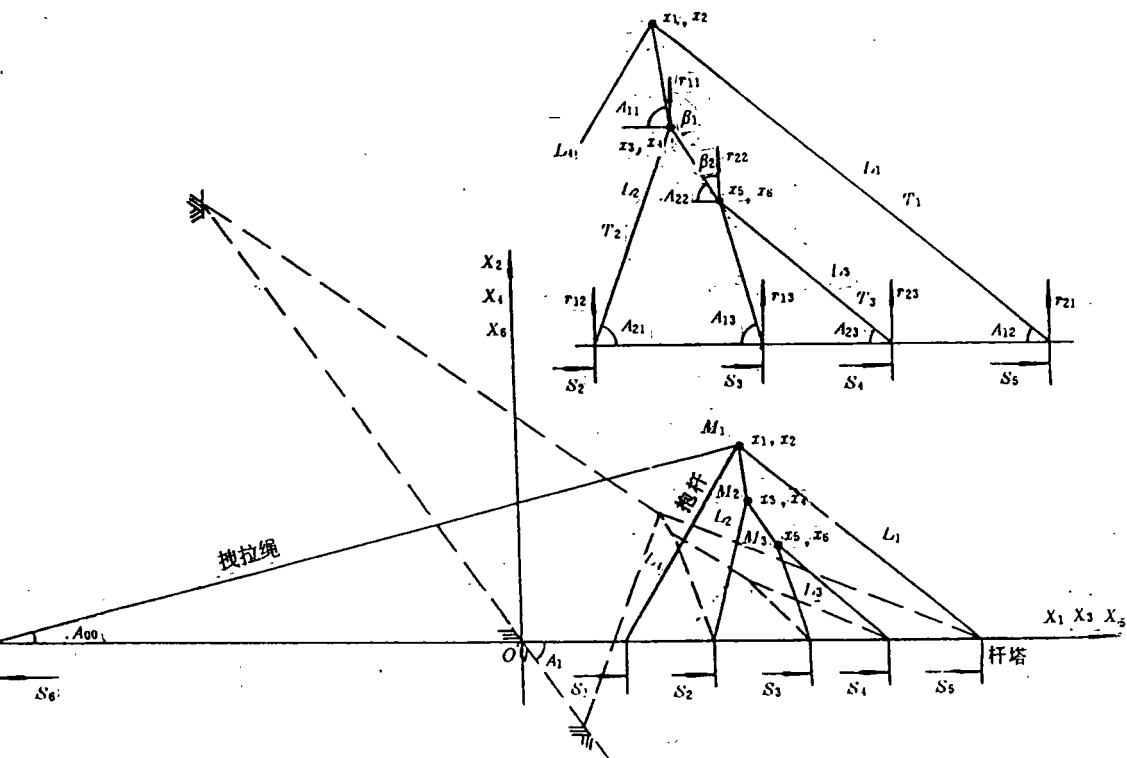
$$|X_{i,m+1} - X_{i,m}| \leq \varepsilon \quad (10)$$

$$\text{或} \quad \sqrt{\sum [X_{i,m+1} - X_{i,m}]^2} \leq \varepsilon' \quad (11)$$

为止。

显见, Picard 迭代法直接涉及的数学知识少,而且仅编一个简单主程序即可。

### 3.3 Picard 迭代法算例



$$t_3 = (X_3 - S_2)/X_4 \quad (18.3)$$

$$t_4 = (X_3 - X_6)/(X_4 - X_6) \quad (18.4)$$

$$t_5 = (X_5 - S_3)/X_6 \quad (18.5)$$

$$t_6 = (X_5 - S_4)/X_6 \quad (18.6)$$

$$t_7 = (X_2 + S_1 \sin A_1)/(X_1 - S_1 \cos A_1) \quad (18.7)$$

$$\beta_1 = [\arctgt_3 + (\arctgt_5 + \arctgt_6)/2]/2 \quad (18.8)$$

$$\beta_2 = (\arctgt_5 + \arctgt_6)/2 \quad (18.9)$$

(18.8)、(18.9)式来源见(5)式。

于是可按程序框图(图3)编制程序。

已知数据:各约束绳系长  $L_1 = 27.5\text{m}$ 、 $L_2 = 15.0\text{m}$ 、 $L_3 = 16.5\text{m}$ ,抱杆长  $L_4 = 17.0\text{m}$ ;各吊点距坐标原点距离  $S_2 = 14.2\text{m}$ 、 $S_3 = 21.7\text{m}$ 、 $S_4 = 27.4\text{m}$ 、 $S_5 = 34.6\text{m}$ ,抱杆根距坐标原点距离  $S_1 = 8.0\text{m}$ ,拽拉卷扬机距坐标原点  $S_6 = 40.0\text{m}$ 。初始迭代数据: $X_{1,0} = 10.9\text{m}$ 、 $X_{2,0} = 10.0\text{m}$ 、 $X_{3,0} = 12.0\text{m}$ 、 $X_{4,0} = 8.0\text{m}$ 、 $X_{5,0} = 18.0\text{m}$ 、 $X_6 = 5.0\text{m}$ 。

上机计算表明,程序运算平稳,收敛较快,通常迭代40次左右,即可得到满意的结果。输出结果如表1(单位m)。

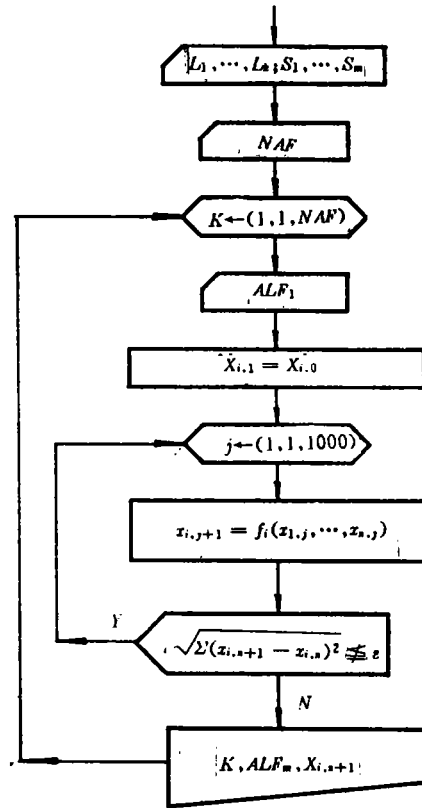


图3 程序框图

表3 计算结果

J	ALF	X <sub>1</sub>	X <sub>2</sub>	X <sub>3</sub>	X <sub>4</sub>	X <sub>5</sub>	X <sub>6</sub>
1	0	16.803 930	14.542 720	17.411 580	10.066 160	19.836 550	6.354 110
2	20	14.264 310	12.867 730	15.303 220	9.593 499	18.862 480	5.608 251
3	30	13.055 530	11.857 360	14.199 420	9.183 645	18.405 970	5.166 800
4	55	10.740 560	9.348 579	11.857 430	7.843 187	17.540 830	4.083 437

Picard 迭代法计算结果与“基本方法”计算结果是一致的(见文献[1])。

## 4 结 语

解抱杆多点整体扳立大型输电杆塔问题的非线性方程组,用 Picard 迭代法,较之用“基本方法”、牛顿迭代法、拟牛顿法,要简单得多。有人做了很多工作后认为,只有用拟牛

顿法才能解出这类问题的非线性方程组。文献[2][3]均只论证了一元非线性方程的Picard迭代法。本文完成的这部分工作,对解这类问题的非线性方程组具有实际意义。

### 参 考 文 献

- [1] 陈祥都. 约束绳系力学. 武汉:华中理工大学出版社,1992,202~216
- [2] 郑威仪. 数值计算方法与FORTRAN语言. 北京:电子工业出版社,1986
- [3] 徐萃薇. 计算方法引论. 北京:高等教育出版社,1985,188~194

## Hoist of Large—Sized Pole or Tower Computed by Picard Iteration

Chen Xiangdu Liu Shutang Liu Shibin

(Dept. of Architectural Civil Eng. ,Northeast China Inst.  
of Elec. Power Eng. ,Jilin 132012)

### Abstract

In some special situations, the whole installation of a large—sized reinforced concrete pole or steel tower is completed by means of a support column and a complex restrained systems of a rope and pulleys. The complex stresses formulated by a non—linear equations set first may be solved by Picard iteration to give satisfactory results.

**Keywords:** complex restrained systems of a rope and pulleys the Picard iteration